

Ćwiczenie 5

Zmodyfikowano 8.12.2015

OBWODOWY MODEL LINII TRANSMISYJNEJ

Celem ćwiczenia jest:

- ✓ zapoznanie się z modelem obwodowym układu o parametrach rozłożonych typu linia transmisyjna,
- ✓ pomiary wybranych wielkości elektrycznych w modelu linii transmisyjnej, ilustracja zjawisk fizycznych występujących w obwodach o parametrach rozłożonych,
- ✓ porównanie uzyskanych wyników z wynikami uzyskanymi z analizy teoretycznej modelu obwodowego linii.

W ćwiczeniu należy (przy zadanej częstotliwości):

- ✓ zmierzyć impedancje wejściowe modelu linii przy różnych obciążeniach i wyznaczyć impedancję falową,
- ✓ zmierzyć impedancję wejściową linii zwartej na końcu jako funkcję jej długości,
- ✓ zmierzyć rozkład napięcia wzdłuż linii dopasowanej falowo i wyznaczyć parametry falowe linii (tłumienność i przesuwność), długość fali, prędkość fazową oraz sprawność przenoszenia mocy przez linię,
- ✓ zaobserwować przejście impulsu prostokątnego przez linię w warunkach różnych obciążeń na końcu linii,
- ✓ *wszystkie* wyniki pomiarów należy porównać z wynikami teoretycznymi, otrzymanymi z analizy modelu linii.

A. Wprowadzenie

1. Obwody o parametrach rozłożonych

Każdy fizyczny obwód elektryczny zajmuje określony obszar w przestrzeni. Jeżeli w tym obszarze pola elektryczne i magnetyczne są polami kwazistacjonarnymi, tzn. w ustalonej chwili czasu w całym obszarze są w przybliżeniu jednakowe, to mówimy, że obwód ten spełnia warunek kwazistacjonarności. Jeżeli przebiegi napięć i prądów (a więc również pola elektryczne i magnetyczne) są przebiegami sinusoidalnymi, wówczas warunek ten można zapisać jako

$$d_{\max} \ll \lambda,$$

gdzie

d_{\max} — maksymalny fizyczny wymiar obwodu,

λ — długość fali elektromagnetycznej rozchodzącej się w obwodzie.

W praktyce, w zależności od wymaganej dokładności obliczeń, przyjmuje się, że warunek kwazistacjonarności jest spełniony gdy $d_{\max} < (0,01 \div 0,1) \lambda$.

Fizyczny obwód elektryczny, spełniający warunek kwazistacjonarności nazywa się **obwodem o parametrach skupionych**. Obwód taki można zamodelować jako obwód konkretny, zbudowany z dyskretnych elementów *RLC* i przeprowadzić jego analizę znanymi metodami teorii obwodów.

Jeżeli układ fizyczny nie spełnia warunku kwazistacjonarności to nazywa się on **obwodem o parametrach rozłożonych**. Obwodu takiego na ogół nie można zamodelować jako obwodu konkretnego, zbudowanego z dyskretnych elementów. Dokładny opis matematyczny zjawisk zachodzących w obwodach o parametrach rozłożonych daje opis polowy, którego podstawą są równania Maxwella. Przykładami takich obwodów mogą być węzki rezonansowe czy falowody.

W niektórych przypadkach, kiedy układ fizyczny nie spełnia warunku kwazistacjonarności w pewien specyficzny sposób, możliwe jest skonstruowanie obwodu konkretnego, zbudowanego z dyskretnych elementów RLC , modelującego taki układ. Będzie tak wtedy, gdy warunek kwazistacjonarności nie będzie spełniony tylko przez *jeden* z wymiarów układu. W dalszych rozważaniach wymiar ten nazywany będzie długością, niezależnie o usytuowania układu w przestrzeni. Przykładem takich układów są linie przesyłowe. Dwie różne konstrukcje takich linii pokazano na rys. A1 i 2.



Rys A1. Linia napowietrzna

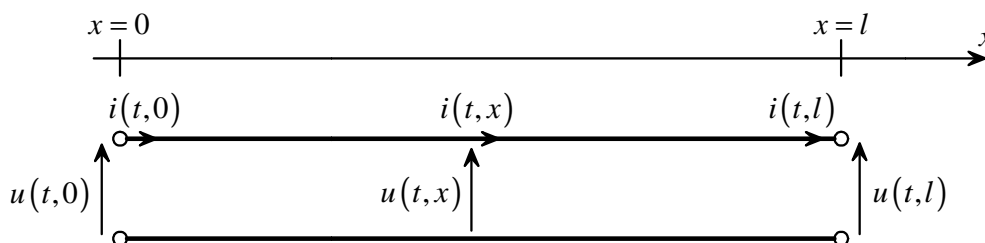


Rys A2. Kabel koncentryczny

Układy takie, niezależnie od tego jak są one fizycznie skonstruowane, nazywać będziemy **liniami transmisyjnymi**. Przyjmować będziemy również, że długość linii jest zorientowana wzdłuż osi x układu współrzędnych.

Warto tutaj podkreślić, że spełnienie lub niespełnienie warunku kwazistacjonarności nie jest immanentną cechą układu — zależy nie tylko od wymiarów i konstrukcji obwodu, ale również od częstotliwości przebiegów w tym obwodzie. Przykładowo, przy częstotliwości energetycznej 50 Hz długość fali elektromagnetycznej w wolnej przestrzeni jest równa 6000 km i linia o długości kilkuset kilometrów może być traktowana jako obwód o parametrach skupionych, natomiast przy częstotliwości z zakresu mikrofalowego 1 GHz, długość fali jest równa 30 cm i odcinek linii o długości kilkunastu milimetrów należy traktować jak obwód o parametrach rozłożonych.

Na schematach elektrycznych linię transmisyjną — niezależnie od jej fizycznej realizacji — oznaczać będziemy w sposób pokazany na rys. A3.

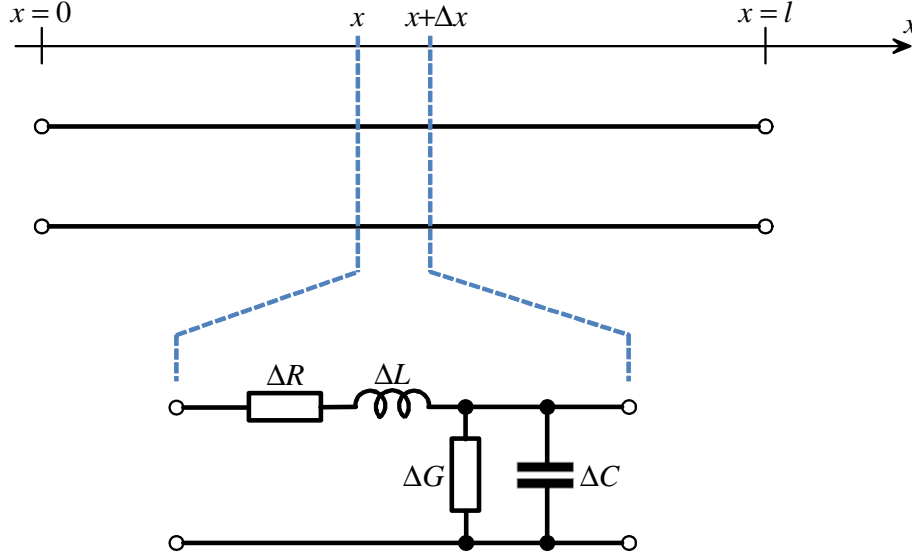


Rys. A3. Schemat elektryczny linii transmisyjnej o długości l

Zwracamy uwagę, że wszystkie przebiegi elektryczne (napięcia i prądy) w linii są funkcjami *dwoch* zmiennych — czasu t i zmiennej przestrzennej x .

2. Równania linii transmisyjnej

Rozważmy krótki fragment linii transmisyjnej o długości $\Delta x \ll \lambda$. Odcinek taki spełnia warunek kwazistacjonarności, może więc być zamodelowany za pomocą skupionych elementów RLC w sposób pokazany na rys. A4.



Rys. A4. Krótki odcinek linii transmisyjnej jako obwód o parametrach skupionych

ΔL i ΔC reprezentują odpowiednio indukcyjność i pojemność odcinka linii o długości Δx , natomiast ΔR i ΔG reprezentują straty w takim odcinku linii, wynikające z rezystancji przewodów i upływności izolacji między nimi. Do dalszych rozważań wygodnie będzie wprowadzić pojęcie parametrów jednostkowych linii, zdefiniowanych jako:

$$L_0 \triangleq \lim_{\Delta x \rightarrow 0} \frac{\Delta L}{\Delta x} \quad \text{— indukcyjność jednostkowa, } [L_0] = \frac{\text{H}}{\text{m}},$$

$$C_0 \triangleq \lim_{\Delta x \rightarrow 0} \frac{\Delta C}{\Delta x} \quad \text{— pojemność jednostkowa, } [C_0] = \frac{\text{F}}{\text{m}},$$

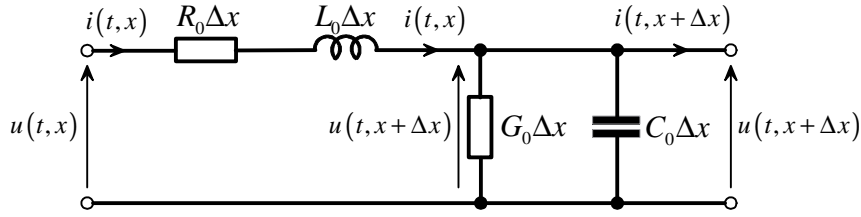
$$R_0 \triangleq \lim_{\Delta x \rightarrow 0} \frac{\Delta R}{\Delta x} \quad \text{— rezystancja jednostkowa, } [R_0] = \frac{\Omega}{\text{m}},$$

$$G_0 \triangleq \lim_{\Delta x \rightarrow 0} \frac{\Delta G}{\Delta x} \quad \text{— upływność jednostkowa, } [G_0] = \frac{\text{S}}{\text{m}}.$$

Jeżeli założymy, że linia jest jednorodna, czyli że parametry jednostkowe nie zmieniają się wzdłuż linii, to

$$\Delta R = R_0 \Delta x, \quad \Delta L = L_0 \Delta x, \quad \Delta G = G_0 \Delta x, \quad \Delta C = C_0 \Delta x.$$

Wówczas obwodowy skupiony model krótkiego odcinka linii ma postać pokazaną na rys. A5. Na rysunku zaznaczono również napięcia i prądy na początku i na końcu tego odcinka.



Rys. A5. Model obwodowy odcinka linii transmisyjnej o długości $\Delta x \ll \lambda$

Obwód z rys. A5 można opisać następującymi równaniami, wynikającymi z praw Kirchhoffa:

$$-i(t, x) + G_0 \Delta x u(t, x + \Delta x) + C_0 \Delta x \frac{\partial u(t, x + \Delta x)}{\partial t} + i(t, x + \Delta x) = 0, \quad (\text{I prawo Kirchhoffa})$$

$$-u(t, x) + R_0 \Delta x i(t, x) + L_0 \Delta x \frac{\partial i(t, x)}{\partial t} + u(t, x + \Delta x) = 0. \quad (\text{II prawo Kirchhoffa})$$

Równania te, po dokonaniu przejścia granicznego $\Delta x \rightarrow 0$, można doprowadzić do postaci [1]:

$$-\frac{\partial u(t, x)}{\partial x} = R_0 i(t, x) + L_0 \frac{\partial i(t, x)}{\partial t}, \quad (\text{A1a})$$

$$-\frac{\partial i(t, x)}{\partial x} = G_0 u(t, x) + C_0 \frac{\partial u(t, x)}{\partial t}, \quad (\text{A1b})$$

czyli do układu dwóch liniowych równań różniczkowych o pochodnych cząstkowych.

Powyższe równania zostały po raz pierwszy wyprowadzone przez Olivera Heaviside'a, który badał niezrozumiałe wówczas zjawiska występujące w długich liniach telegraficznych, szczególnie drastycznie ujawniające się w podwodnych kablach transatlantyckich. Polegały one na bardzo powolnym przesyłaniu znaków alfabetu Morse'a — przesłanie pojedynczego znaku trwało nawet dwie minuty, czyli przesłanie krótkiej depeszy mogło zająć kilka, a nawet kilkanaście godzin. Problem ten został rozwiązany dopiero po opracowaniu poprawnej teorii linii transmisyjnych. Otrzymane przez Heaviside'a równania noszą historyczną nazwę *równań telegrafistów*.

Rozwiązanie równań (A1) przy dowolnych warunkach początkowych i brzegowych jest zagadnieniem dosyć trudnym, a otrzymane wyniki są trudne do interpretacji i mają niewielkie znaczenia praktyczne. Osoby zainteresowane odsyłamy do literatury [2], [3]. W dalszych rozważaniach ograniczymy się tylko do pewnego szczególnego przypadku, mającego największe zastosowanie praktyczne. Założymy mianowicie, że zarówno prąd jak i napięcie w linii są przebiegami sinusoidalnymi o ustalonej pulsacji ω_0 , czyli

$$u(t, x) = U(x) \sqrt{2} \sin[\omega_0 t + \psi(x)] = \sqrt{2} \operatorname{Im}\{\underline{U}(x) e^{j\omega_0 t}\},$$

$$i(t, x) = I(x) \sqrt{2} \sin[\omega_0 t + \varphi(x)] = \sqrt{2} \operatorname{Im}\{\underline{I}(x) e^{j\omega_0 t}\}.$$

gdzie $U(x)$ i $I(x)$ są wartościami skutecznymi napięcia i prądu, $\psi(x)$ i $\varphi(x)$ ich fazami początkowymi, natomiast $\underline{U}(x) = U(x) e^{j\psi(x)}$ i $\underline{I}(x) = I(x) e^{j\varphi(x)}$ są wartościami skutecznymi zespolonymi napięcia i prądu w linii. Wówczas, po uwzględnieniu, że

$$\frac{\partial u(t, x)}{\partial t} = \sqrt{2} \operatorname{Im} \{ j \omega_0 \underline{U}(x) e^{j \omega_0 t} \}, \quad \frac{\partial u(t, x)}{\partial x} = \sqrt{2} \operatorname{Im} \left\{ \frac{d \underline{U}(x)}{dx} e^{j \omega_0 t} \right\}$$

oraz

$$\frac{\partial i(t, x)}{\partial t} = \sqrt{2} \operatorname{Im} \{ j \omega_0 \underline{I}(x) e^{j \omega_0 t} \}, \quad \frac{\partial i(t, x)}{\partial x} = \sqrt{2} \operatorname{Im} \left\{ \frac{d \underline{I}(x)}{dx} e^{j \omega_0 t} \right\},$$

równania (A1) można doprowadzić do postaci [1], [2]

$$-\frac{d \underline{U}(x)}{dx} = (R_0 + j \omega_0 L_0) \underline{I}(x), \quad (A2a)$$

$$-\frac{d \underline{I}(x)}{dx} = (G_0 + j \omega_0 C_0) \underline{U}(x). \quad (A2b)$$

Równania te noszą nazwę *równań telegrafistów w postaci symbolicznej*. Zwracamy uwagę, że w równaniach tych niewiadome są funkcją *jednej* zmiennej x , więc występują w nich pochodne zwyczajne a nie cząstkowe.

3. Rozwiązania równań linii transmisyjnej

Po zróżniczkowaniu każdego z równań (A2) otrzymujemy

$$-\frac{d^2 \underline{U}(x)}{dx^2} = (R_0 + j \omega_0 L_0) \frac{d \underline{I}(x)}{dx} = -(R_0 + j \omega_0 L_0)(G_0 + j \omega_0 C_0) \underline{U}(x),$$

$$-\frac{d^2 \underline{I}(x)}{dx^2} = (G_0 + j \omega_0 C_0) \frac{d \underline{U}(x)}{dx} = -(R_0 + j \omega_0 L_0)(G_0 + j \omega_0 C_0) \underline{I}(x),$$

czyli, po oznaczeniu $(R_0 + j \omega_0 L_0)(G_0 + j \omega_0 C_0) = \underline{\gamma}^2$

$$\frac{d^2 \underline{U}(x)}{dx^2} - \underline{\gamma}^2 \underline{U}(x) = 0, \quad (A3a)$$

$$\frac{d^2 \underline{I}(x)}{dx^2} - \underline{\gamma}^2 \underline{I}(x) = 0. \quad (A3b)$$

Są to dwa, niezależne od siebie, liniowe, jednorodne równania różniczkowe drugiego rzędu. Współczynnik

$$\underline{\gamma} = \sqrt{(R_0 + j \omega_0 L_0)(G_0 + j \omega_0 C_0)},$$

występujący w tych równaniach, nosi nazwę **tamowności falowej** linii.

Rozwiązania ogólne równań (A3) mają postać:

$$\underline{U}(x) = A e^{-\underline{\gamma} x} + B e^{\underline{\gamma} x}, \quad (A4a)$$

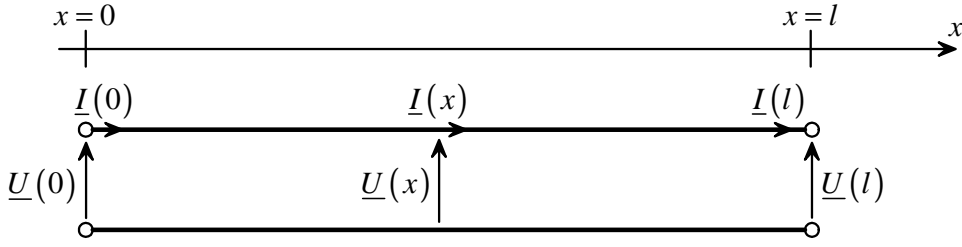
$$\underline{I}(x) = \frac{1}{\underline{Z}_f} (A e^{-\underline{\gamma} x} - B e^{\underline{\gamma} x}), \quad (A4b)$$

gdzie

$$\underline{Z}_f = \sqrt{\frac{R_0 + j \omega_0 L_0}{G_0 + j \omega_0 C_0}}$$

jest współczynnikiem o wymiarze impedancji, który nazywać będziemy **impedancją falową linii**, natomiast A i B są dowolnymi stałymi. Stałe te można wyznaczyć na podstawie warunków brzegowych, czyli wartości napięć i prądów w wybranych punktach linii.

Symboliczny schemat zastępczy linii transmisyjnej pokazano na rys. A6.



Rys. A6. Symboliczny schemat zastępczy odcinka linii transmisyjnej

Jeżeli założymy, że znane są wartości skuteczne zespolone napięcia i prądu na początku linii, czyli $\underline{U}(0)$ i $\underline{I}(0)$ i wprowadzimy oznaczenia $\underline{U}_p \triangleq \underline{U}(0)$, $\underline{I}_p \triangleq \underline{I}(0)$, wówczas, po podstawieniu do równań (A4) $x=0$, otrzymujemy

$$\underline{U}_p = A + B,$$

$$\underline{Z}_f \underline{I}_p = A - B,$$

czyli

$$A = \frac{\underline{U}_p + \underline{Z}_f \underline{I}_p}{2},$$

$$B = \frac{\underline{U}_p - \underline{Z}_f \underline{I}_p}{2}.$$

Rozwiązania szczególne równań (A3) mają wtedy postać:

$$\underline{U}(x) = \frac{\underline{U}_p + \underline{Z}_f \underline{I}_p}{2} e^{-\gamma x} + \frac{\underline{U}_p - \underline{Z}_f \underline{I}_p}{2} e^{\gamma x}, \quad (\text{A5a})$$

$$\underline{I}(x) = \frac{\underline{I}_p + \frac{\underline{U}_p}{\underline{Z}_f}}{2} e^{-\gamma x} + \frac{\underline{I}_p - \frac{\underline{U}_p}{\underline{Z}_f}}{2} e^{\gamma x}. \quad (\text{A5b})$$

Wprowadźmy oznaczenia:

$$\underline{U}_i(x) = \frac{\underline{U}_p + \underline{Z}_f \underline{I}_p}{2} e^{-\gamma x} = \underline{U}_{ip} e^{-\gamma x},$$

$$\underline{U}_r(x) = \frac{\underline{U}_p - \underline{Z}_f \underline{I}_p}{2} e^{\gamma x} = \underline{U}_{rp} e^{\gamma x},$$

$$\underline{I}_i(x) = \frac{\underline{I}_p + \frac{\underline{U}_p}{\underline{Z}_f}}{2} e^{-\gamma x} = \underline{I}_{ip} e^{-\gamma x},$$

$$\underline{I}_r(x) = \frac{\underline{I}_p - \frac{\underline{U}_p}{\underline{Z}_f}}{2} e^{\gamma x} = \underline{I}_{rp} e^{\gamma x}.$$

Wówczas rozwiązania równań linii można zapisać jako

$$\underline{U}(x) = \underline{U}_{ip} e^{-\gamma x} + \underline{U}_{rp} e^{\gamma x},$$

$$\underline{I}(x) = \underline{I}_{ip} e^{-\gamma x} + \underline{I}_{rp} e^{\gamma x}.$$

Rozważmy pierwszy ze składników rozwiązania na napięcie $\underline{U}_i(x) = \underline{U}_{ip} e^{-\gamma x}$. Aby zapisać postać czasową tego przebiegu wprowadzimy następujące oznaczenia:

$$\underline{U}_{ip} = |\underline{U}_{ip}| e^{j\psi_{ip}},$$

$$\underline{\gamma} = \alpha + j\beta.$$

Wówczas

$$\underline{U}_i(x) = |\underline{U}_{ip}| e^{j\psi_{ip}} e^{-(\alpha + j\beta)x} = |\underline{U}_{ip}| e^{-\alpha x} e^{j(\psi_{ip} - \beta)x},$$

a postać czasowa

$$u_i(t, x) = \sqrt{2} \operatorname{Im}\{\underline{U}_i(x) e^{j\omega_0 t}\} = \sqrt{2} |\underline{U}_{ip}| e^{-\alpha x} \operatorname{Im}\{e^{j(\omega_0 t - \beta x + \psi_{ip})}\},$$

czyli

$$u_i(t, x) = \sqrt{2} |\underline{U}_{ip}| e^{-\alpha x} \sin(\omega_0 t - \beta x + \psi_{ip}). \quad (\text{A6})$$

Otrzymane równanie jest znanym z fizyki równaniem tłumionej fali płaskiej, rozchodzącej się w kierunku dodatnich wartości x . Falę tę będziemy nazywać **fala padającą**, a wszystkie wielkości fizyczne z nią związane oznaczać będziemy indeksem „i” (ang. *incident wave*).

Wartość skuteczna napięcia fali padającej w dowolnym punkcie linii $|\underline{U}_i(x)| = |\underline{U}_{ip}| e^{-\alpha x}$, a więc maleje wykładniczo ze wzrostem x . Rozważmy wartości skuteczne napięć w dwóch dowolnych punktach linii x_1 i x_2 :

$$|\underline{U}_i(x_1)| = |\underline{U}_{ip}| e^{-\alpha x_1},$$

$$|\underline{U}_i(x_2)| = |\underline{U}_{ip}| e^{-\alpha x_2}.$$

Po podzieleniu stronami i zlogarytmowaniu otrzymamy

$$\ln \frac{|\underline{U}_i(x_1)|}{|\underline{U}_i(x_2)|} = \alpha(x_2 - x_1).$$

Wyrażenie $\ln \frac{|\underline{U}_i(x_1)|}{|\underline{U}_i(x_2)|}$ jest wielkością bezwymiarową. W telekomunikacji przyjęło się logarytm

naturalny ze stosunku dwóch napięć nazywać neperem (Np). Iloczyn $\alpha(x_2 - x_1)$ określa więc tłumienie wartości skutecznej napięcia (również amplitudy) na odcinku o długości $x_2 - x_1$, czyli

$\alpha = \frac{1}{x_2 - x_1} \ln \frac{|\underline{U}_i(x_1)|}{|\underline{U}_i(x_2)|}$ jest tłumieniem, wyrażonym w neperach, na jednostkę długości linii.

$$\alpha = \operatorname{Re}\{\gamma\} \text{ nazywa się } \mathbf{\textit{tłumiennością falową linii}}, \quad [\alpha] = \frac{\text{Np}}{\text{m}}.$$

Rozważmy fazę napięcia fali padającej $\Phi(t, x) = \omega_0 t - \beta x + \psi_{ip}$. W ustalonej chwili czasu t_0 na odcinku linii o długości $x_2 - x_1$ faza ta zmienia się o $\Phi(t_0, x_1) - \Phi(t_0, x_2) = \beta(x_2 - x_1)$, czyli

$\beta = -\frac{\Phi(t_0, x_2) - \Phi(t_0, x_1)}{x_2 - x_1}$ określa zmianę fazy napięcia, wyrażoną w radianach, na jednostkę długości linii (w dowolnej ustalonej chwili t_0).

$$\beta = \operatorname{Im}\{\gamma\} \text{ nazywa się } \mathbf{\textit{przesuwnością falową linii}}, \quad [\beta] = \frac{\text{rad}}{\text{m}}.$$

Ponieważ na odcinku linii $x_2 - x_1 = \lambda$ faza zmienia się o 2π , więc zachodzą oczywiste związki:

$$\beta\lambda = 2\pi, \quad \text{czyli} \quad \beta = \frac{2\pi}{\lambda} \quad \text{i} \quad \lambda = \frac{2\pi}{\beta}$$

Rozważmy obecnie położenie punktu, w którym faza napięcia (A6) jest stała. Położenie takiego punktu określone jest równaniem $\Phi(t, x) = \omega_0 t - \beta x + \psi_{ip} = \text{const}$, czyli $x = \frac{\omega_0 t + \psi_{ip} - \text{const}}{\beta}$. Punkt ten porusza się wzdłuż linii z prędkością

$$v_f = \frac{dx}{dt} = \frac{\omega_0}{\beta}. \quad (\text{A7})$$

Prędkość v_f nazywa się **prędkością fazową** rozchodzenia się fali w linii.

W czasie $t = T = \frac{2\pi}{\omega_0}$ punkt stałej fazy przesuwa się o odcinek równy długości fali, zachodzą więc związki:

$$\lambda = v_f T = 2\pi \frac{v_f}{\omega_0} = \frac{v_f}{f_0}, \quad \text{gdzie} \quad f_0 = \frac{1}{T} = \frac{\omega_0}{2\pi}.$$

Jeżeli rozpatrzmy drugi składnik rozwiązania (A5a)

$$\underline{U}_r(x) = \frac{\underline{U}_p - \underline{Z}_f \underline{I}_p}{2} e^{\gamma x} = \underline{U}_{rp} e^{\gamma x},$$

to, po analogicznym rozumowaniu, jego postać czasową można zapisać jako

$$u_r(t, x) = \sqrt{2} |\underline{U}_{rp}| e^{\alpha x} \sin(\omega_0 t + \beta x + \psi_{rp}). \quad (\text{A8})$$

Wyrażenie to (z dokładnością do amplitudy) różni się od (A6) jedynie znakiem przy x . Reprezentuje ono więc identyczną falę napięcia, rozchodzącą się w kierunku *malejących* x , czyli od końca linii w stronę jej początku. Falę tę będziemy nazywać **fala odbita**, a wszystkie wielkości fizyczne z nią związane oznaczać będziemy indeksem „r” (ang. *reflected wave*).

Rozwiązanie na prąd w linii transmisyjnej ma bardzo podobną postać jak rozwiązanie na napięcie, należy więc oczekiwać, że interpretacja tego rozwiązania będzie podobna. Jeżeli oznaczmy

$$\underline{I}_{ip} = \frac{\underline{I}_p + \frac{\underline{U}_p}{\underline{Z}_f}}{2} = |\underline{I}_{ip}| e^{j\varphi_{ip}},$$

$$\underline{I}_{rp} = \frac{\underline{I}_p - \frac{\underline{U}_p}{\underline{Z}_f}}{2} = |\underline{I}_{rp}| e^{j\varphi_{rp}},$$

to

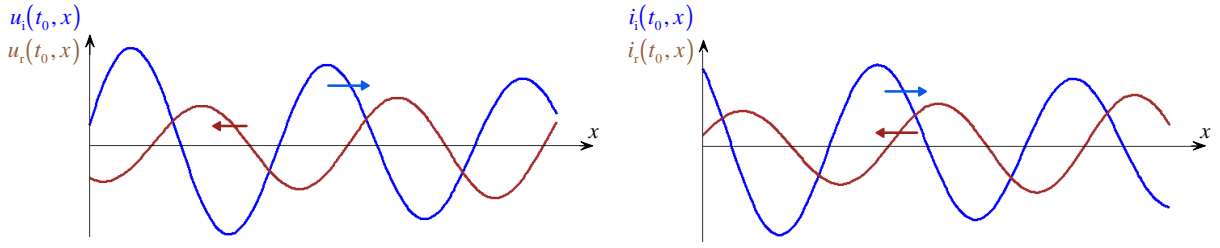
$$i(t, x) = i_i(t, x) + i_r(t, x),$$

gdzie

$$i_i(t, x) = \sqrt{2} |\underline{I}_{ip}| e^{-\alpha x} \sin(\omega_0 t - \beta x + \varphi_{ip}), \quad (\text{A9})$$

$$i_r(t, x) = \sqrt{2} |\underline{I}_{rp}| e^{\alpha x} \sin(\omega_0 t + \beta x + \varphi_{rp}). \quad (\text{A10})$$

Prąd w linii rozchodzi się, podobnie jak napięcie, w postaci dwóch fal — padającej, rozchodzącej się od początku linii w stronę jej końca (w kierunku rosnących x), i odbitej, rozchodzącej się od końca linii w stronę jej początku (w kierunku malejących x). Rozwiązania te, w sposób poglądowy, pokazano na rys. A7.



Rys. A7. Ilustracja przebiegów fal napięcia i prądu w linii transmisyjnej

Alternatywną postać rozwiązań równań linii, można uzyskać przy przyjęciu innych warunków brzegowych. Przyjmiemy mianowicie, że zadane są wartości napięcia i prądu na końcu linii, czyli

$$\underline{U}_k \triangleq \underline{U}(l), \quad \underline{I}_k \triangleq \underline{I}(l).$$

Do dalszych rozważań wygodnie będzie dokonać zmiany układu współrzędnych. Dokonamy następującego podstawienia:

$$x = l - y.$$

Podstawienie takie oznacza, że y jest odległością mierzoną od końca linii. Wówczas rozwiązania ogólne równań linii mają postać:

$$\underline{U}(l - y) = Ae^{-\gamma(l-y)} + Be^{\gamma(l-y)} = Ae^{-\gamma l} e^{\gamma y} + Be^{\gamma l} e^{-\gamma y},$$

$$\underline{I}(l - y) = \frac{1}{\underline{Z}_f} (Ae^{-\gamma(l-y)} - Be^{\gamma(l-y)}) = \frac{1}{\underline{Z}_f} (Ae^{-\gamma l} e^{\gamma y} - Be^{\gamma l} e^{-\gamma y}).$$

Wprowadzimy oznaczenia:

$$\underline{U}(l - y) = \tilde{U}(y), \quad \underline{I}(l - y) = \tilde{I}(y),$$

oraz

$$Ae^{-\gamma l} = \tilde{A}, \quad Be^{\gamma l} = \tilde{B},$$

co prowadzi do równań:

$$\tilde{U}(y) = \tilde{A}e^{\gamma y} + \tilde{B}e^{-\gamma y}, \tag{A11a}$$

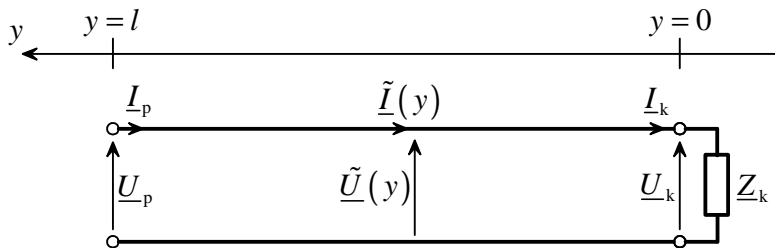
$$\tilde{I}(y) = \frac{1}{\underline{Z}_f} (\tilde{A}e^{\gamma y} - \tilde{B}e^{-\gamma y}). \tag{A11b}$$

Zwracamy uwagę, że przy nowych oznaczeniach

$$\underline{U}_p = \tilde{U}(l), \quad \underline{I}_p = \tilde{I}(l),$$

$$\underline{U}_k = \tilde{U}(0), \quad \underline{I}_k = \tilde{I}(0).$$

Przyjmiemy, że zadane są wartości \underline{U}_k i \underline{I}_k . Dodatkowo założymy, że do zacisków końcowych linii dołączony został dwójnik o impedancji zespolonej \underline{Z}_k . Symboliczny schemat zastępczy takiego układu pokazano na rys. A8.



Rys. A7. Symboliczny schemat zastępczy linii obciążonej

Po podstawieniu do (A11) $y = 0$ otrzymamy układ równań

$$\underline{U}_k = \tilde{A} + \tilde{B},$$

$$\underline{Z}_f \underline{I}_k = \tilde{A} - \tilde{B},$$

a stąd

$$\tilde{A} = \frac{\underline{U}_k + \underline{Z}_f \underline{I}_k}{2},$$

$$\tilde{B} = \frac{\underline{U}_k - \underline{Z}_f \underline{I}_k}{2}.$$

Ostatecznie rozwiązania mają postać:

$$\tilde{U}(y) = \frac{\underline{U}_k + \underline{Z}_f \underline{I}_k}{2} e^{\gamma y} + \frac{\underline{U}_k - \underline{Z}_f \underline{I}_k}{2} e^{-\gamma y} = \underline{U}_{ik} e^{\gamma y} + \underline{U}_{rk} e^{-\gamma y}, \quad (A12a)$$

$$\tilde{I}(y) = \frac{\underline{I}_k + \frac{\underline{U}_k}{\underline{Z}_f}}{2} e^{\gamma y} + \frac{\underline{I}_k - \frac{\underline{U}_k}{\underline{Z}_f}}{2} e^{-\gamma y} = \underline{I}_{ik} e^{\gamma y} + \underline{I}_{rk} e^{-\gamma y}. \quad (A12b)$$

W rozwiązaniach tych można bez trudu wyróżnić znane już składniki, odpowiadające fali padającej i odbitej. Zwracamy jedynie uwagę, że y jest odległością mierzoną od *końca* linii, więc fala padająca porusza się w kierunku *malejących* wartości y , a fala odbita — w kierunku *rosnących* y . We wzorach (A12) \underline{U}_{ik} , \underline{U}_{rk} , \underline{I}_{ik} , \underline{I}_{rk} oznaczają odpowiednio wartości skuteczne zespolone napięć i prądów fali padającej i odbitej *na końcu linii*.

Ponieważ \underline{U}_k i \underline{I}_k są ze sobą związane prawem Ohma $\underline{U}_k = \underline{Z}_k \underline{I}_k$, więc po wyeliminowaniu z równania (A12a) prądu \underline{I}_k , a z równania (A12b) napięcia \underline{U}_k , równania te można zapisać w postaci:

$$\tilde{U}(y) = \frac{1}{2} \underline{U}_k \left(1 + \frac{\underline{Z}_f}{\underline{Z}_k} \right) e^{\gamma y} + \frac{1}{2} \underline{U}_k \left(1 - \frac{\underline{Z}_f}{\underline{Z}_k} \right) e^{-\gamma y} = \frac{1}{2} \underline{U}_k \left(1 + \frac{\underline{Z}_f}{\underline{Z}_k} \right) e^{\gamma y} \left(1 + \frac{\underline{Z}_k - \underline{Z}_f}{\underline{Z}_k + \underline{Z}_f} e^{-2\gamma y} \right), \quad (A13a)$$

$$\tilde{I}(y) = \frac{1}{2} \underline{I}_k \left(\frac{\underline{Z}_k}{\underline{Z}_f} + 1 \right) e^{\gamma y} - \frac{1}{2} \underline{I}_k \left(\frac{\underline{Z}_k}{\underline{Z}_f} - 1 \right) e^{-\gamma y} = \frac{1}{2} \underline{I}_k \left(\frac{\underline{Z}_k}{\underline{Z}_f} + 1 \right) e^{\gamma y} \left(1 - \frac{\underline{Z}_k - \underline{Z}_f}{\underline{Z}_k + \underline{Z}_f} e^{-2\gamma y} \right). \quad (A13b)$$

Wyrażenie

$$\frac{\underline{Z}_k - \underline{Z}_f}{\underline{Z}_k + \underline{Z}_f} = \underline{\Gamma}_k = |\underline{\Gamma}_k| e^{j\theta_k} \quad (A14)$$

nazywa się **współczynnikiem odbicia** na końcu linii. Można pokazać, że jeżeli \underline{Z}_k jest impedancją dwójnika pasywnego, czyli $\text{Re}\{\underline{Z}_k\} \geq 0$, to wtedy $|\underline{\Gamma}_k| \leq 1$.

Równania (A13), wykorzystując oznaczenie współczynnika odbicia, można teraz zapisać jako:

$$\tilde{U}(y) = \frac{1}{2} \underline{U}_k \left(1 + \frac{\underline{Z}_f}{\underline{Z}_k} \right) e^{\gamma y} (1 + \underline{\Gamma}_k e^{-2\gamma y}) = \underline{U}_{ik} e^{\gamma y} (1 + \underline{\Gamma}_k e^{-2\gamma y}) = \underline{U}_i(y) + \underline{U}_i(y) \underline{\Gamma}_k e^{-2\gamma y}, \quad (A15a)$$

$$\tilde{I}(y) = \frac{1}{2} \underline{I}_k \left(\frac{\underline{Z}_k}{\underline{Z}_f} + 1 \right) e^{\gamma y} (1 - \underline{\Gamma}_k e^{-2\gamma y}) = \underline{I}_{ik} e^{\gamma y} (1 - \underline{\Gamma}_k e^{-2\gamma y}) = \underline{I}_i(y) + \underline{I}_i(y) (-\underline{\Gamma}_k e^{-2\gamma y}). \quad (A15b)$$

Z równań (A15) wynika, że

$$\underline{U}_r(y) = \underline{U}_i(y) \underline{\Gamma}_k e^{-2\gamma y}, \quad (A16a)$$

$$\underline{I}_r(y) = -\underline{I}_i(y) \underline{\Gamma}_k e^{-2\gamma y}. \quad (A16b)$$

W szczególności, gdy $y = 0$ (koniec linii), otrzymujemy:

$$\underline{U}_{rk} = \underline{U}_{ik} \underline{\Gamma}_k \text{ i } \underline{I}_{rk} = -\underline{I}_{ik} \underline{\Gamma}_k.$$

4. Przenoszenie mocy przez linię transmisyjną

Oznaczmy:

$P_i(y)$ — moc czynna fali padającej w odległości y od końca linii,

$P_r(y)$ — moc czynna fali odbitej w odległości y od końca linii,

P_p — moc czynna dostarczona do linii,

P_k — moc czynna dostarczona do obciążenia.

Wówczas:

$$P_i(y) = \operatorname{Re}\{U_i(y) I_i^*(y)\} = \operatorname{Re}\{U_{ik} e^{\gamma y} I_{ik}^* e^{\gamma^* y}\} = \operatorname{Re}\{U_{ik} I_{ik}^*\} e^{2\alpha y} = P_{ik} e^{2\alpha y}.$$

Podobnie, po uwzględnieniu (A16a) i (A16b):

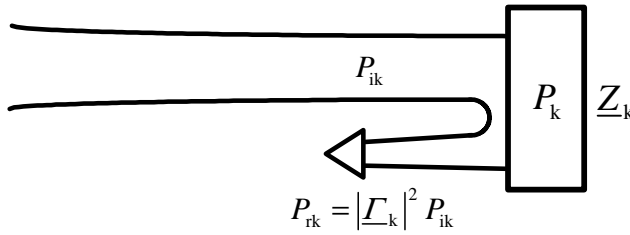
$$\begin{aligned} P_r(y) &= \operatorname{Re}\{U_r(y) I_r^*(y)\} = -\operatorname{Re}\{U_i(y) I_k^* e^{-2\gamma y} I_i^*(y) I_k^* e^{-2\gamma^* y}\} = \\ &= -\operatorname{Re}\{U_{ik} e^{\gamma y} I_{ik}^* e^{\gamma^* y} I_k I_k^* e^{-2\gamma y} e^{-2\gamma^* y}\} = -\operatorname{Re}\{U_{ik} I_{ik}^*\} |I_k|^2 e^{-2\alpha y} = -P_{ik} |I_k|^2 e^{-2\alpha y}. \end{aligned}$$

Moc fali odbitej jest ujemna, co oznacza, że moc ta jest przenoszona od odbiornika do generatora.

Na końcu linii ($y = 0$) można zapisać bilans mocy

$$P_k = P_i(0) + P_r(0) = P_{ik} - P_{ik} |I_k|^2. \quad (\text{A17})$$

Jeżeli odbiornikiem jest dwójnik pasywny, czyli $\operatorname{Re}\{Z_k\} \geq 0$, to wówczas $P_k \geq 0$, $|I_k| \leq 1$, i wówczas równanie (A17) można zinterpretować w taki sposób, że część mocy fali padającej, po dojściu do końca linii, zostaje wydzielona w obciążeniu, a pozostała część „odbija” się od odbiornika i powraca w postaci fali odbitej do generatora. Interpretacja taka uzasadnia stosowanie nazw „fala padająca” i „fala odbita”. Poglądową ilustrację równania (A17) pokazano na rys. A8.



Rys. A8. Bilans mocy na końcu linii

Szczególnie interesujący jest przypadek, gdy $I_k = 0$. Wówczas moc fali padającej jest w całości przekazana do odbiornika i w linii *nie występuje fala odbita*. Stan taki nazywa **stanem dopasowania falowego** linii transmisyjnej. Z zależności (A14) wynika, że warunkiem dopasowania falowego linii jest:

$$Z_k = Z_f. \quad (\text{A18})$$

Bilans mocy na początku linii ($y = l$):

$$P_p = P_i(l) + P_r(l) = P_{ik} e^{2\alpha l} - P_{ik} |I_k|^2 e^{-2\alpha l}. \quad (\text{A19})$$

Sprawność przekazywania mocy przez linię transmisyjną, rozumiana jako stosunek mocy czynnej wydzielonej w obciążeniu do mocy czynnej dostarczonej do linii, jest równa:

$$\eta = \frac{P_k}{P_p} = \frac{1 - |\underline{\Gamma}_k|^2}{e^{2\alpha l} - |\underline{\Gamma}_k|^2 e^{-2\alpha l}}. \quad (A20)$$

W szczególności, w warunkach dopasowania falowego ($\underline{\Gamma}_k = 0$)

$$\eta = e^{-2\alpha l}.$$

5. Impedancja wejściowa linii transmisyjnej

W układzie jak na rys. A7 impedancja zespolona, widziana od strony zacisków wejściowych linii jest równa

$$\underline{Z}_{we} = \frac{\underline{U}_p}{\underline{I}_p} = \frac{\tilde{U}(l)}{\tilde{I}(l)} = \frac{\frac{1}{2} \underline{U}_k \left(1 + \frac{\underline{Z}_f}{\underline{Z}_k} \right) e^{\gamma l} + \frac{1}{2} \underline{U}_k \left(1 - \frac{\underline{Z}_f}{\underline{Z}_k} \right) e^{-\gamma l}}{\frac{1}{2} \underline{I}_k \left(\frac{\underline{Z}_k}{\underline{Z}_f} + 1 \right) e^{\gamma l} - \frac{1}{2} \underline{I}_k \left(\frac{\underline{Z}_k}{\underline{Z}_f} - 1 \right) e^{-\gamma l}}.$$

Po uwzględnieniu, że $\frac{\underline{U}_k}{\underline{I}_k} = \underline{Z}_k$ oraz $\frac{e^{\gamma l} - e^{-\gamma l}}{e^{\gamma l} + e^{-\gamma l}} = \text{th } \gamma l$, powyższą zależność, po odpowiednim pogrupowaniu składników w liczniku i mianowniku, można doprowadzić do postaci

$$\underline{Z}_{we} = \underline{Z}_f \frac{\underline{Z}_k + \underline{Z}_f \text{th } \gamma l}{\underline{Z}_f + \underline{Z}_k \text{th } \gamma l}. \quad (A21)$$

W przypadkach szczególnych:

- linia dopasowana falowo ($\underline{Z}_k = \underline{Z}_f$)

$$\underline{Z}_{we} = \underline{Z}_f, \quad (A22a)$$

- linia zwarta na końcu ($\underline{Z}_k = 0$)

$$\underline{Z}_{wez} = \underline{Z}_f \text{th } \gamma l, \quad (A22b)$$

- linia rozwarta na końcu ($\underline{Z}_k \rightarrow \infty$)

$$\underline{Z}_{wer} = \frac{\underline{Z}_f}{\text{th } \gamma l}. \quad (A22c)$$

Zależności (A22b) i (A22c) sugerują prosty sposób pomiaru impedancji falowej linii jako

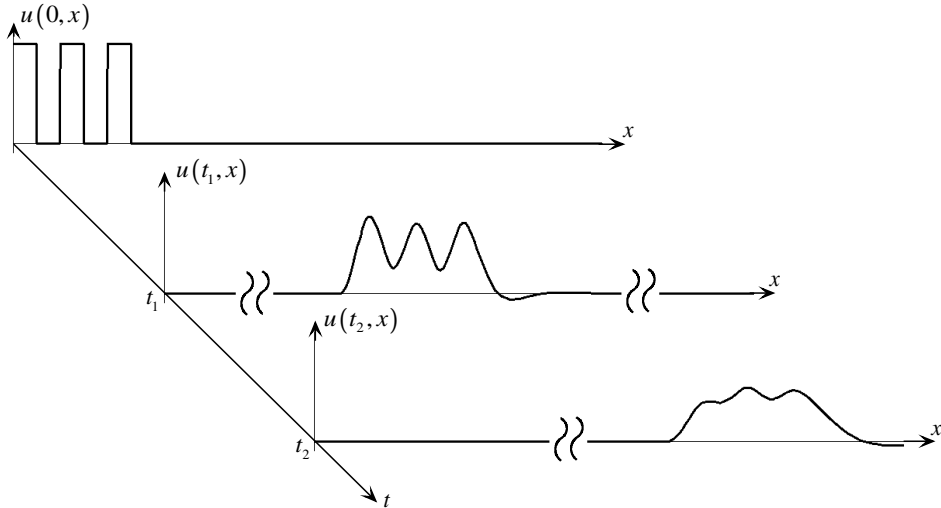
$$\underline{Z}_f = \sqrt{\underline{Z}_{wez} \underline{Z}_{wer}}. \quad (A23)$$

6. Zniekształcenia sygnałów w linii

Najczęściej w linii transmisyjnej rozchodzą się sygnały przenoszące informację (przebiegi zmodulowane, impulsowe), których widmo zawiera składowe o wielu różnych pulsacjach. Każda ze składowych rozchodzi się z prędkością fazową

$$v_f(\omega) = \frac{\omega}{\beta(\omega)} = \frac{\omega}{\text{Im} \left\{ \sqrt{(R_0 + j\omega L_0)(G_0 + j\omega C_0)} \right\}},$$

która, w sposób dosyć skomplikowany, zależy od pulsacji. Może to spowodować zniekształcenie kształtu przenoszonego sygnału, a w konsekwencji utrudnić lub uniemożliwić poprawny odbiór przesyłanej informacji. W przypadku niedopasowania falowego dodatkowe utrudnienia mogą spowodować interferencje fal padających i odbitych. Zjawiska występujące w linii przy pobudzeniu jej grupą trzech impulsów zilustrowano na rys. A9.



Rys. A9. Przechodzenie grupy impulsów przez linię transmisyjną

W celu ilościowej analizy występujących w linii zjawisk rozpatrzmy bardzo prosty przypadek, kiedy w linii rozchodzą się *dwie* fale sinusoidalne o nieznacznie różniących się częstotliwościach. Założymy również, że linia jest dopasowana falowo (nie występują fale odbite). Napięcie na początku linii będzie więc równe

$$u_p(t) = U_p \sqrt{2} \sin \omega_0 t + U_p \sqrt{2} \sin (\omega_0 + \Delta \omega) t.$$

Jak widać, założyliśmy dodatkowo, że amplitudy obu składowych są takie same, a ich fazy początkowe są zerowe. Założenia takie nie zmniejszą ogólności wniosków końcowych — pozwolą jedynie uniknąć zbędnych komplikacji w zapisie.

Wówczas, zgodnie z zasadą superpozycji:

$$\begin{aligned} u(t, x) &= U_p \sqrt{2} e^{-\alpha x} \sin (\omega_0 t - \beta x) + U_p \sqrt{2} e^{-(\alpha + \Delta \alpha) x} \sin [(\omega_0 + \Delta \omega) t - (\beta + \Delta \beta) x] = \\ &= U_p \sqrt{2} e^{-\alpha x} \left\{ \sin (\omega_0 t - \beta x) + e^{-\Delta \alpha x} \sin [(\omega_0 t - \beta x) + (\Delta \omega t - \Delta \beta x)] \right\}, \end{aligned}$$

gdzie

$$\sqrt{(R_0 + j \omega_0 L_0)(G_0 + j \omega_0 C_0)} = \alpha + j \beta,$$

$$\sqrt{[R_0 + j(\omega_0 + \Delta \omega) L_0][G_0 + j(\omega_0 + \Delta \omega) C_0]} = \alpha + \Delta \alpha + j(\beta + \Delta \beta).$$

Jeżeli, jak założyliśmy, $\Delta \omega \ll \omega_0$, to można przyjąć

$$e^{-\Delta \alpha x} \approx 1, \quad \frac{2\omega_0 + \Delta \omega}{2} \approx \omega_0, \quad \frac{2\beta + \Delta \beta}{2} \approx \beta,$$

i wówczas*

$$u(t, x) = 2\sqrt{2} U_p e^{-\alpha x} \cos\left(\frac{\Delta\omega}{2}t - \frac{\Delta\beta}{2}x\right) \sin(\omega_0 t - \beta x) = A(t, x) \sin(\omega_0 t - \beta x). \quad (A24)$$

Jest to równanie fali płaskiej, o pulsacji ω_0 i przesuwności β , rozchodzącej się z prędkością fazową $v_f = \frac{\omega_0}{\beta}$, przemnożonej przez obwiednię

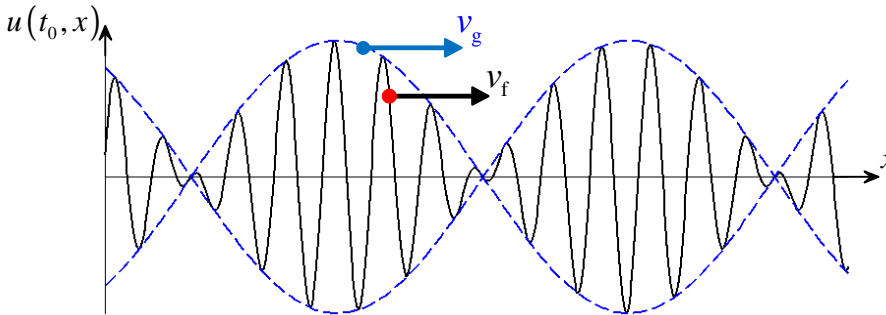
$$A(t, x) = 2\sqrt{2} U_p e^{-\alpha x} \cos\left(\frac{\Delta\omega}{2}t - \frac{\Delta\beta}{2}x\right). \quad (A25)$$

W fizyce zjawisko interferencji dwóch fal, o nieznacznie różniących się częstotliwościach, nosi nazwę **dudnień**.

Równanie obwiedni (A25) reprezentuje falę płaską, o pulsacji $\frac{\Delta\omega}{2}$ i przesuwności $\frac{\Delta\beta}{2}$. Punkt stałej fazy obwiedni porusza się w kierunku dodatnich x z prędkością $\frac{\Delta\omega}{\Delta\beta}$. Prędkość tę, w granicy gdy $\Delta\beta \rightarrow 0$, nazywa się **prędkością grupową**

$$v_g \triangleq \lim_{\Delta\beta \rightarrow 0} \frac{\Delta\omega}{\Delta\beta} = \frac{d\omega}{d\beta}.$$

Wykres zależności (A24), dla ustalonej wartości $t = t_0$, pokazano na rys. A10.



Rys. A10. Ilustracja dudnienia fal w linii transmisyjnej

W przypadku, gdy w linii rozchodzą się przebiegi, których widmo zawiera składowe o wielu różnych częstotliwościach, warunkiem zachowania kształtu przebiegu jest zachowanie relacji między fazami tych składowych, co wymaga aby $v_g = v_f$, czyli

$$\frac{d\omega}{d\beta} = \frac{\omega}{\beta} \Rightarrow \frac{d\omega}{\omega} = \frac{d\beta}{\beta}.$$

Rozwiązaniem powyższego równania różniczkowego jest

$$\beta = a\omega, \quad (A26)$$

gdzie a jest dowolną stałą. Linia nie będzie więc wprowadzać zniekształceń liniarnych (zachowany będzie kształt przenoszonych impulsów) gdy przesuwność będzie liniowo zależeć od pulsacji.

* Zastosowano tożsamość trygonometryczną $\sin A + \sin B = 2 \cos \frac{B-A}{2} \sin \frac{B+A}{2}$

Warunek (A26) będzie spełniony, gdy parametry jednostkowe linii spełniają zależność

$$\frac{R_0}{L_0} = \frac{G_0}{C_0}. \quad (\text{A27})$$

Istotnie, wówczas

$$\begin{aligned} \underline{\gamma} = \alpha + j\beta &= \sqrt{(R_0 + j\omega_0 L_0)(G_0 + j\omega_0 C_0)} = j\omega_0 \sqrt{L_0 C_0} \sqrt{\left(1 + \frac{R_0}{j\omega_0 L_0}\right) \left(1 + \frac{G_0}{j\omega_0 C_0}\right)} = \\ &= j\omega_0 \sqrt{L_0 C_0} \left(1 + \frac{R_0}{j\omega_0 L_0}\right) = j\omega_0 \sqrt{L_0 C_0} \left(1 + \frac{G_0}{j\omega_0 C_0}\right), \end{aligned}$$

czyli

$$\alpha = R_0 \sqrt{\frac{C_0}{L_0}} = G_0 \sqrt{\frac{L_0}{C_0}}, \quad \beta = \omega_0 \sqrt{L_0 C_0}.$$

Warunek (A27) jest więc *warunkiem dostatecznym* aby $v_g = v_f$. Można pokazać [3], że jest to również *warunek konieczny*.

Linie transmisyjną, której parametry jednostkowe spełniają warunek (A27) nazywa się **linią zrównoważoną** lub **niezniekształcającą**. Warto zauważyć, że impedancja falowa linii zrównoważonej

$$\underline{Z}_f = \sqrt{\frac{R_0 + j\omega_0 L_0}{G_0 + j\omega_0 C_0}} = \sqrt{\frac{L_0}{C_0}} \sqrt{\frac{1 + \frac{R_0}{j\omega_0 L_0}}{1 + \frac{G_0}{j\omega_0 C_0}}} = \sqrt{\frac{L_0}{C_0}}$$

jest liczbą rzeczywistą.*

Jeżeli w linii $v_g \neq v_f$, to taką linię nazywa się **linią dyspersyjną**. Dyspersję nazywa się *normalną*, gdy $v_g < v_f$ i *anomalną* gdy $v_g > v_f$.

7. Fale stojące w linii transmisyjnej

Wartość *skuteczna zespolona* napięcia wzdłuż linii (przy odległości y mierzonej od końca linii), zgodnie (A15a) jest równa

$$\underline{\tilde{U}}(y) = \underline{U}_{ik} e^{\underline{\gamma} y} (1 + \underline{\Gamma}_k e^{-2\underline{\gamma} y}).$$

Obliczymy wartość skuteczną tego napięcia $\tilde{U}(y) = |\underline{\tilde{U}}(y)|$. Oznaczmy $\underline{\Gamma}_k = |\underline{\Gamma}_k| e^{j\theta_k}$. Wówczas, po uwzględnieniu, że

$$\begin{aligned} |1 + \underline{\Gamma}_k e^{-2\underline{\gamma} y}| &= |1 + |\underline{\Gamma}_k| e^{-2\alpha y} e^{j(\theta_k - 2\beta y)}| = \\ &= |1 + |\underline{\Gamma}_k| e^{-2\alpha y} \cos(\theta_k - 2\beta y) + j|\underline{\Gamma}_k| e^{-2\alpha y} \sin(\theta_k - 2\beta y)| = \\ &= \sqrt{[1 + |\underline{\Gamma}_k| e^{-2\alpha y} \cos(\theta_k - 2\beta y)]^2 + [|\underline{\Gamma}_k| e^{-2\alpha y} \sin(\theta_k - 2\beta y)]^2} = \\ &= \sqrt{1 + 2|\underline{\Gamma}_k| e^{-2\alpha y} \cos(\theta_k - 2\beta y) + |\underline{\Gamma}_k|^2 e^{-4\alpha y}}, \\ |e^{\underline{\gamma} y}| &= |e^{\alpha y} e^{j\beta y}| = e^{\alpha y}, \end{aligned}$$

* Wyrażenie $\sqrt{L_0/C_0}$ nazywa się *impedancją charakterystyczną* linii.

otrzymujemy

$$\tilde{U}(y) = |\tilde{U}(y)| = |U_{ik}| e^{\alpha y} \sqrt{1 + 2|\Gamma_k| e^{-2\alpha y} \cos(\theta_k - 2\beta y) + |\Gamma_k|^2 e^{-4\alpha y}}. \quad (\text{A28a})$$

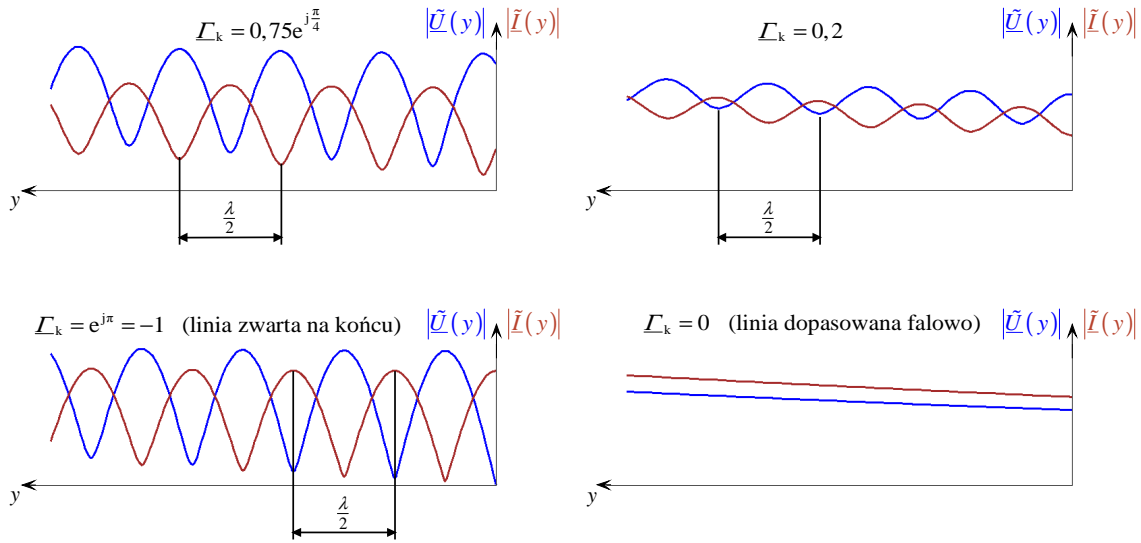
Podobnie, z zależności (A15b)

$$\tilde{I}(y) = I_{ik} e^{\gamma y} (1 - \Gamma_k e^{-2\gamma y})$$

można, po analogicznych przekształceniach, wyznaczyć rozkład wartości skutecznej prądu wzdłuż linii:

$$\tilde{I}(y) = |\tilde{I}(y)| = |I_{ik}| e^{\alpha y} \sqrt{1 - 2|\Gamma_k| e^{-2\alpha y} \cos(\theta_k - 2\beta y) + |\Gamma_k|^2 e^{-4\alpha y}}. \quad (\text{A28b})$$

Przykładowe wykresy zależności (A28), dla wybranych wartości Γ_k pokazano na rys. A11.



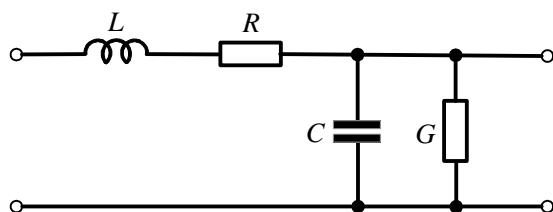
Rys. A11. Przykłady rozkładów wartości skutecznej napięcia i prądu wzdłuż linii transmisyjnej

Przedstawione na rys. A11 rozkłady napięcia i prądu nie zmieniają się w czasie i mają charakter, znanych z fizyki, fal stojących. Warto zauważyć, że położenie maksimów napięcia pokrywa się z położeniem minimów prądu i odwrotnie. Ponadto odległości między minimami (maksimami) są stałe i równe $\lambda/2$. Sugeruje to prosty sposób pomiaru długości fali w linii.

W przypadku linii dopasowanej falowo rozkłady wartości skutecznej napięcia i prądu są funkcjami monotonicznymi — maleją wykładniczo w miarę przesuwania się od początku linii w stronę jej końca.

B. Opis zestawu laboratoryjnego

Dla potrzeb ćwiczenia wykonano obwodowy model rzeczywistej napowietrznej linii telefonicznej o długości $l = 360$ km. Zestaw laboratoryjny zbudowany jest w postaci łańcuchowego połączenia 24 ogniw, wykonanych zgodnie ze schematem pokazanym na rys. B1. Każde ogniwo



Rys. B1. Schemat jednego ogniwa modelu linii transmisyjnej

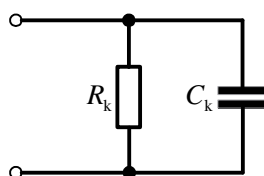
reprezentuje odcinek rzeczywistej linii o długości $\Delta x = 15$ km. Przyjęcie takiej długości odcinka do budowy modelu laboratoryjnego stanowi kompromis między liczbą odcinków, niezbędną do zamodelowania linii o długości porównywalnej z długością fali, a długością jednego odcinka, wynikającą z konieczności spełnienia warunku

kwazistacjonarności $\Delta x \ll \lambda$. Założono, że model ma reprezentować napowietrzną linię dwuprzewodową, taką jak na rys. A1. Przyjęto następujące wartości elementów użytych do budowy ogniwa z rys. B1:

- $L = 28,5$ mH,
- $C = 90$ nF,
- $R = 38 \Omega$,
- $G = 7,9 \mu S$.

Warunek kwazistacjonarności dla jednego ogniwa będzie spełniony gdy $\Delta x \leq 0,1\lambda$, co odpowiada częstotliwości $f_0 \leq 2$ kHz. W praktyce wyniki pomiarów są wystarczająco dokładne również dla częstotliwości nieco większych. Przyjmiemy, że dopuszczalna częstotliwość, przy której model jest jeszcze poprawny, jest równa $f_{\max} = 3$ kHz (wówczas $\Delta x = 0,15\lambda$). Z drugiej strony, częstotliwość pomiarowa powinna być na tyle duża, aby można było wyraźnie zaobserwować zjawiska falowe zachodzące w linii. Przyjmiemy, że $f_{\min} = 600$ Hz. Wówczas $\lambda = 500$ km i długość całej linii $l = 0,72\lambda$.

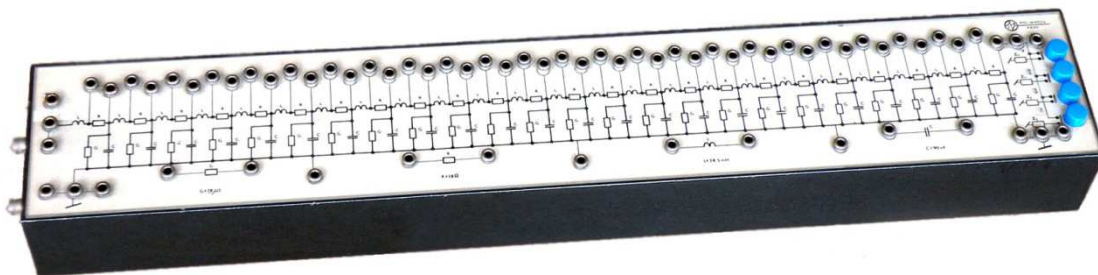
W modelu laboratoryjnym umieszczono również cztery standardowe dwójniki RC, które, za pomocą przełącznika, mogą być dołączane do końca linii. Schemat i wartości elementów tych dwójników pokazano na rys. B2.



- $R_k = 580 \Omega$, $C_k = 56$ nF,
- $R_k = 570 \Omega$, $C_k = 27$ nF,
- $R_k = 570 \Omega$, $C_k = 13$ nF,
- $R_k = 565 \Omega$, $C_k = 6,8$ nF.

Rys. B2. Dwójniki dołączane do końca linii

Widok zestawu laboratoryjnego przedstawiono na rys. B3.



Rys. B3. Widok zestawu laboratoryjnego

C. Część laboratoryjna

Zestaw przyrządów na stanowisku:

- ✓ zestaw laboratoryjny,
- ✓ generator napięcia sinusoidalnego,
- ✓ generator impulsów prostokątnych,
- ✓ oscyloskop dwukanałowy,
- ✓ woltomierz,
- ✓ miernik fazy,
- ✓ dekada rezystorowa,
- ✓ dekada kondensatorowa.

Przed przystąpieniem do wykonywania ćwiczenia należy uzgodnić z prowadzącym zajęcia częstotliwość pomiarową f_0 .

1. Wyznaczenie parametrów jednostkowych i falowych linii

Na podstawie podanych w części B. wartości elementów, użytych do budowy jednego ogniwa, wyznaczyć parametry jednostkowe linii L_0, C_0, R_0, G_0 , przyjmując, że jedno ogniwo odpowiada odcinkowi linii o długości $\Delta x = 15 \text{ km}$. Przy obliczaniu R_0 , oprócz rezystora R należy również uwzględnić rezystancję własną induktora R_L . Rezystancję tę należy zmierzyć, ewentualnie, przy braku możliwości technicznych, przyjąć $R_L = 4 \Omega$. Następnie, przy wybranej częstotliwości f_0 , obliczyć impedancję falową

$$\hat{Z}_f = \sqrt{\frac{R_0 + j\omega_0 L_0}{G_0 + j\omega_0 C_0}}$$

i tamowność falową

$$\hat{\gamma} = \sqrt{(R_0 + j\omega_0 L_0)(G_0 + j\omega_0 C_0)} = \hat{\alpha} + j\hat{\beta}.$$

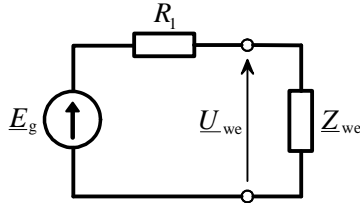
Uwaga: dla odróżnienia od wielkości wyznaczonych na podstawie pomiarów, wielkości *wyznaczone teoretycznie* będziemy oznaczać „daszkami”.

Przy obliczeniach można wykorzystać procedurę **linia1** w MATLABie, zamieszczoną w dodatku.

Na podstawie obliczonej tamowności falowej wyznaczyć długość fali w linii $\hat{\lambda} = 2\pi/\hat{\beta}$, prędkość fazową $\hat{v}_f = \omega_0/\hat{\beta}$ i długość elektryczną linii $\hat{d} = l/\hat{\lambda}$.

2. Pomiar impedancji wejściowej linii

Impedancję wejściową linii mierzymy metodą techniczną, w układzie pokazanym na rys. C1, gdzie dwójnik \underline{Z}_{we} reprezentuje nieznaną impedancję wejściową linii. Z analizy obwodu otrzymujemy



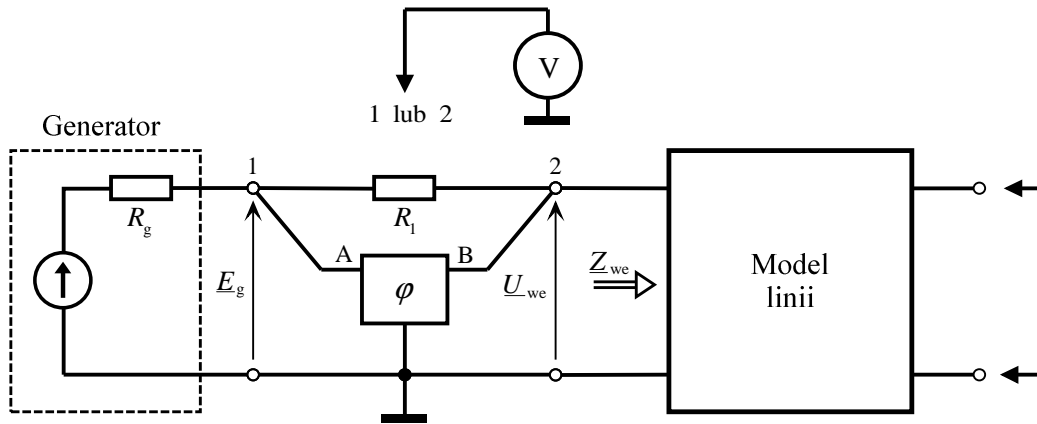
Rys. C1. Układ do pomiaru impedancji

$$\underline{U}_{we} = \frac{\underline{Z}_{we}}{R_l + \underline{Z}_{we}} \underline{E}_g,$$

a stąd, po zmierzeniu \underline{U}_{we} , można wyznaczyć poszukiwaną impedancję:

$$\underline{Z}_{we} = \frac{\underline{U}_{we}}{\underline{E}_g - \underline{U}_{we}} R_l = \frac{R_l}{\frac{\underline{E}_g}{\underline{U}_{we}} - 1}. \quad (C1)$$

Rzeczywisty układ do pomiaru impedancji wejściowej linii, jaki należy zestawić na stanowisku pomiarowym, pokazano na rys. C2.



Rys. C2. Rzeczywisty układ do pomiaru impedancji wejściowej linii

Rezystor $R_l = 500\Omega$, występujący w układzie z rys. C2 jest zamontowany w zestawie laboratoryjnym (nie należy go dołączać jako dodatkowy element). Zwracamy uwagę, że w układzie pomiarowym \underline{E}_g *nie jest* siłą elektromotoryczną idealnego źródła napięciowego lecz napięciem na zaciskach rzeczywistego generatora, który ma własną rezystancję wewnętrzną $R_g \approx 50\Omega$. Przy zmianie mierzonej impedancji napięcie \underline{E}_g będzie się więc nieznacznie zmieniać i za każdym razem należy je zmierzyć, przełączając woltomierz z punktu 2 do punktu 1. Impedancję \underline{Z}_{we} obliczamy ze wzoru (C1).

Napięcie generatora powinno być tak dobrane, aby napięcie na wejściu linii miało wartość skuteczną $|\underline{U}_{we}| = (1 \div 2) \text{ V}$.

2.1. Wyznaczenie impedancji falowej linii

W układzie pomiarowym jak na rys. C2 należy zmierzyć impedancję wejściową linii zwartej na końcu \underline{Z}_{wez} i rozwartej na końcu \underline{Z}_{wer} , a następnie obliczyć impedancję falową ze wzoru (A23)

$$\underline{Z}_f = \sqrt{\underline{Z}_{wez} \underline{Z}_{wer}}.$$

Na podstawie wyznaczonej impedancji falowej należy zaprojektować dwójnik zapewniający dopasowanie falowe linii, czyli dwójnik o impedancji $\underline{Z}_k = \underline{Z}_f$. Wyznaczona impedancja falowa powinna mieć charakter pojemnościowy, czyli obciążenie dopasowane powinno być dwójnikiem RC . Z powodów technicznych* dwójnik ten zaprojektujemy jako *równoległe* połączenie elementów R_k i C_k (jak na rys. B2). Warunkiem dopasowania falowego jest

$$\underline{Y}_f = \frac{1}{\underline{Z}_f} = \frac{1}{R_k} + j\omega_0 C_k \quad (C2)$$

czyli

$$R_k = \frac{1}{\operatorname{Re}\{\underline{Y}_f\}}, \quad C_k = \frac{\operatorname{Im}\{\underline{Y}_f\}}{\omega_0}.$$

Zestawić zaprojektowany dwójnik z dostępnych dekad rezystorowej i kondensatorowej i przyłączyć do końca linii. Można również, w przypadku dobrej zgodności wartości elementów, wykorzystać jeden ze standardowych dwójników z rys. B2. Następnie zmierzyć impedancję wejściową linii dopasowanej falowo i porównać wynik z impedancją falową — zweryfikować zależność (A22a).

2.2. Pomiar impedancji wejściowej linii zwartej na końcu jako funkcji jej długości

W układzie z rys. C2 zmierzyć impedancję wejściową zwartej na końcu linii, której długość zmienia się. Zmianę długości linii realizujemy w ten sposób, że, za pomocą standardowego kabelka, zwieramy linię po jej kolejnych ogniwach i za każdym razem mierzymy \underline{E}_g i \underline{U}_{we} , a następnie, z wzoru (C1), obliczamy impedancję wejściową. Wyniki pomiarów i obliczeń należy zestawić w następującej tabeli:

Numer ogniwa n	E_g V	U_{we} V	φ_{we} stopnie	$ \underline{Z}_{wez} $ Ω
0	--	--	--	0,0
1				
...				
24				

Na podstawie obliczonych parametrów falowych linii sporządzić teoretyczny wykres modułu impedancji wejściowej linii zwartej na końcu w funkcji jej długości, zgodnie ze wzorem (A22b)

$$|\hat{\underline{Z}}_{wez}| = |\hat{\underline{Z}}_f \operatorname{th} \hat{\gamma}l|,$$

a następnie na ten wykres nanieść punkty pomiarowe z piątej kolumny tabeli.

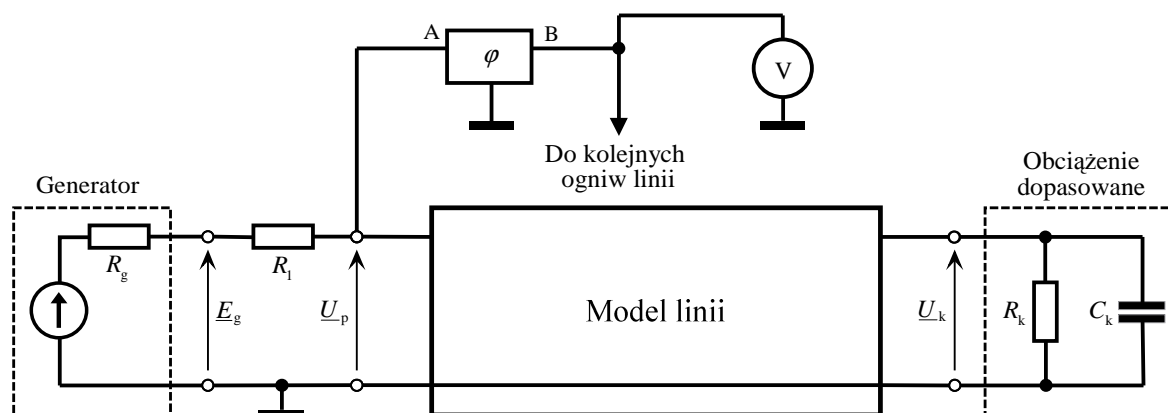
Wszystkie, dosyć żmudne, obliczenia i wykonywanie wykresów znacznie ułatwi procedura **linia2** w MATLABie, zamieszczona w dodatku. Zachęcamy do jej wykorzystania.

Porównać uzyskane wyniki pomiarów z wynikami teoretycznymi i wyjaśnić przyczyny ewentualnych rozbieżności.

* W przypadku realizacji dwójnika \underline{Z}_k jako szeregowego połączenia elementów RC wymagana jest bardzo duża pojemność kondensatora.

3. Pomiar napięcia wzdłuż linii dopasowanej falowo oraz pomiar przenoszonej mocy

Do zacisków końcowych linii dołączyć obciążenie dopasowane falowo \underline{Z}_k , zaprojektowane w pkt. 2.1. i zestawić układ pomiarowy jak na rys. C3.



Rys. C3. Układ do pomiaru napięcia wzdłuż linii

3.1. Pomiar napięcia wzdłuż linii dopasowanej falowo

Zmierzyć wartości skuteczne zespolone napięcia (moduł i fazę) na kolejnych ogniwach linii. Poziom napięcia z generatora wybrać tak, aby $|\underline{U}_p| = (1 \div 2) \text{ V}$ (napięcie to nie powinno przekraczać 2 V). Fazę napięcia mierzyć względem *napięcia na początku linii* (zacisk A miernika fazy dołączyć do wejścia linii, tak jak na rys. C3).

Wyniki pomiarów zestawić w tabeli.

Numer ogniwa n	$ \underline{U}_n $ V	$\varphi_n = \arg \underline{U}_n$ stopnie	$\varphi_n = \arg \underline{U}_n$ radiany	$\ln \left \frac{\underline{U}_n}{\underline{U}_p} \right $
0	$ \underline{U}_p $	0	0	0
1				
2				
...
24				

Uwaga: Wskazania miernika fazy mieszczą się w zakresie $\pm 180^\circ$, natomiast φ_n powinno *monotonicznie maleć* ze wzrostem n . Przy przeliczaniu stopni na radiany należy więc dokonać odpowiedniej korekty — za każdym razem, gdy znak fazy zmienia się z „-” na „+” należy od wyniku przeliczenia (i wszystkich następnych!) odjąć 2π . Można również wykorzystać procedurę **unwrap** w MATLABie.

Sporządzić na płaszczyźnie Gaussa wykres napięcia $\hat{\underline{U}}(x)$, unormowanego względem $\hat{\underline{U}}_p$, czyli

$$\frac{\hat{\underline{U}}(x)}{\hat{\underline{U}}_p} = e^{-\hat{\gamma}x} = e^{-\hat{\alpha}x} e^{-j\hat{\beta}x}.$$

(Będzie to we współrzędnych biegunowych wykres $\left| \frac{\hat{\underline{U}}(x)}{\hat{\underline{U}}_p} \right| = f \left[\arg \frac{\hat{\underline{U}}(x)}{\hat{\underline{U}}_p} \right]$).

Na wykres ten nanieść punkty uzyskane z pomiarów i wyjaśnić przyczyny ewentualnych rozbieżności.

Wyniki z czwartej i piątej kolumny tabeli nanieść na wykresy jako funkcje $n\Delta x$. Ponieważ w linii dopasowanej falowo $\underline{U}(x) = \underline{U}_p e^{-\gamma x} = \underline{U}_p e^{-\alpha x} e^{-j\beta x}$, czyli

$$\ln \left| \frac{\underline{U}(x)}{\underline{U}_p} \right| = -\alpha x \quad \text{i} \quad \varphi(x) = -\beta x,$$

więc naniesione punkty pomiarowe należy aproksymować liniami prostymi, przechodzącymi przez początki układów współrzędnych. Z nachylenia poprowadzonych prostych wyznaczyć α i β .

Wszystkie opisane obliczenia i wykresy można wykonać w MATLABie, za pomocą procedury **linia3**, zamieszczonej w dodatku.

3.2. Wyznaczenie mocy przenoszonej przez linię i sprawności przekazywania mocy

W układzie z rys. C3 zmierzyć napięcia \underline{E}_g , \underline{U}_p i \underline{U}_k , obliczyć prąd na początku linii

$$\underline{I}_p = \frac{\underline{E}_g - \underline{U}_p}{R_l},$$

moc czynną dostarczoną do linii

$$P_p = \operatorname{Re} \{ \underline{U}_p \underline{I}_p^* \}$$

oraz moc czynną wydzieloną w obciążeniu

$$P_k = \frac{|\underline{U}_k|^2}{R_k}.$$

Na podstawie obliczonych mocy obliczyć sprawność przekazywania mocy przez linię

$$\eta = \frac{P_k}{P_p}.$$

Porównać uzyskany wynik ze sprawnością teoretyczną (zależność (A20) dla $\underline{I}_k = 0$)

$$\hat{\eta} = e^{-2\hat{\alpha}l}.$$

3.3. Wyznaczenie prędkości grupowej w linii

Prędkość grupową wyznaczymy z przybliżonej zależności

$$v_g = \frac{\Delta\omega}{\Delta\beta}. \quad (C3)$$

W tym celu, w układzie z rys. C3 należy zmierzyć fazę napięcia \underline{U}_k przy częstotliwości pomiarowej f_0 , a następnie zmienić nieznacznie częstotliwość, tak, aby faza napięcia \underline{U}_k zmieniła się o ok. $\pm 10^\circ$. Zanotować częstotliwości f_1 i f_2 i ψ_{k1} i ψ_{k2} — zmierzone przy tych częstotliwościach fazy napięcia \underline{U}_k . Następnie obliczamy

$$\Delta\omega = 2\pi(f_2 - f_1),$$

$$\Delta\beta = -\frac{(\psi_{k2} - \psi_{k1})}{l} \frac{\pi}{180}.$$

Po podstawieniu ustalonych danych liczbowych ($l = 360 \cdot 10^3$ m) do (C3) otrzymujemy

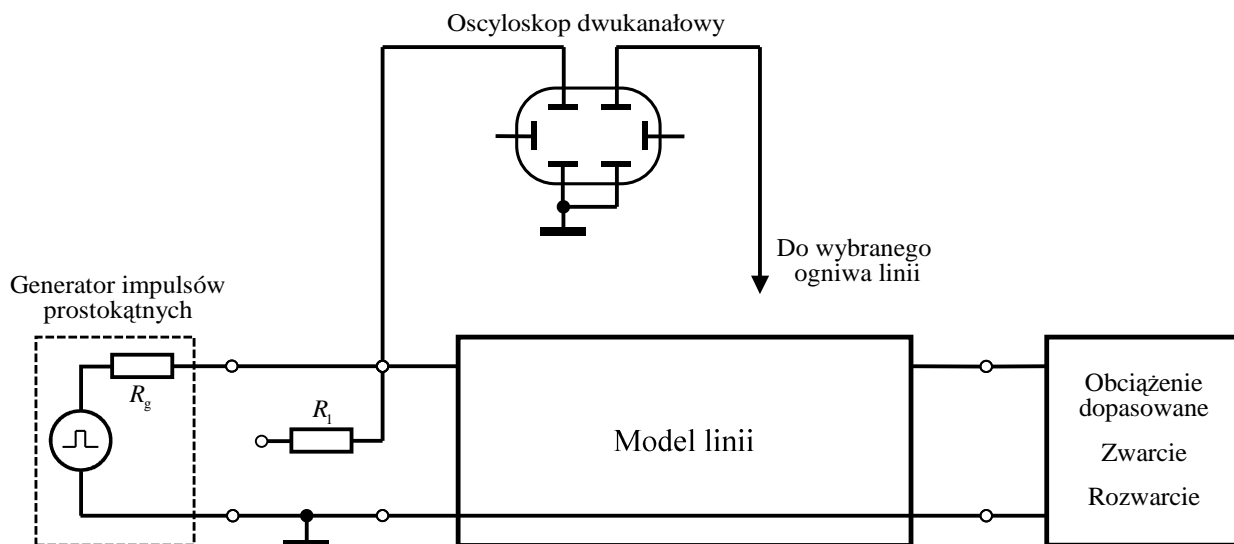
$$v_g = -1,296 \cdot 10^8 \frac{f_2 - f_1}{\psi_{k2} - \psi_{k1}},$$

przy czym f_1 i f_2 jest wyrażone w Hz, zaś ψ_{k1} i ψ_{k2} — w stopniach.

Otrzymany wynik zweryfikować przez porównanie z wynikiem teoretycznym, wyliczonym zgodnie z (C3). Obliczenia znacznie usprawni wykorzystanie procedury **linia1**.

4. Obserwacja przejścia impulsu prostokątnego przez linię

Zestawić układ pomiarowy zgodnie z rys. C4.



Rys. C4. Układ do obserwacji przechodzenia impulsów przez linię

4.1. Linia dopasowana

Do zacisków wyjściowych linii przyłączyć dwójnik dopasowany falowo — wykorzystać jeden z dwójników standardowych z rys. B3. Na generatorze impulsów ustawić szerokość impulsu ok. $(0,7 \div 0,8)$ ms i częstotliwość ich powtarzania ok. 100 Hz (parametry impulsów można, w miarę potrzeby, skorygować w trakcie pomiarów). Zaobserwować kształt i opóźnienie impulsu w kilku punktach linii. Wydrukować wyniki na 12 i 24 ogniwie linii. Oszacować czas przejścia impulsu przez linię i obliczyć prędkość poruszania się impulsu wzdłuż linii. Porównać z wyliczoną w pkt. 3.3. prędkością grupową. Na podstawie amplitud impulsu na wejściu i wyjściu linii wyznaczyć tłumienność α .

4.2. Linia zwarta na końcu

Odłączyć obciążenie linii i zewrzeć jej zaciski wyjściowe. Zmniejszyć szerokość impulsu do ok. $(0,4 \div 0,5)$ ms. Przyłączyć oscyloskop do 12 ogniwa linii. Wydrukować obraz z ekranu oscyloskopu. Zinterpretować uzyskane wydruki.

4.2. Linia rozwarta na końcu

Powtórzyć wszystkie czynności z pkt. 4.2. dla linii rozwartej na końcu.

4.4. Linia dopasowana pobudzana podwójnym impulsem

Dopasować linię jak pkt. 4.1. Na generatorze ustawić grupę dwóch impulsów o szerokości 0,1 ms, oddzielonych od siebie o 0,1 ms. Częstotliwość powtarzania takiej grupy ok. 100 Hz. Przyłączyć oscyloskop do końca linii i zaobserwować uzyskane przebiegi. Zmieniać odległość między impulsami i ich szerokość i oszacować minimalną odległość między nimi, taką aby na końcu linii były one rozróżnialne. Wydrukować dwa wybrane charakterystyczne przypadki.

Zagadnienia do samodzielnego opracowania

1. Przy założeniu, że straty w linii są pomijalnie małe, tzn. $R_0 \approx 0$, $G_0 \approx 0$ wyprowadzić wzory na parametry falowe linii, impedancję wejściową i rozkład wartości skutecznej napięcia i prądu wzdłuż linii.
2. Przedyskutować zależność impedancji wejściowej linii transmisyjnej o pomijalnie małych stratach od jej długości, przy różnych obciążeniach ($\underline{Z}_k = \{0, \infty, \underline{Z}_f, R_k, jX_k\}$).
3. Narysować wykres reaktancji wejściowej linii o pomijalnie małych stratach zwartej na końcu w funkcji długości tej linii.
4. Narysować rozkład wartości skutecznej napięcia i prądu wzdłuż linii o pomijalnie małych stratach, zwartej i rozwartej na końcu.
5. Zbadać jak zmienia się moduł i argument współczynnika odbicia $\underline{\Gamma}_k$ jeżeli obciążeniem linii jest dwójnik reaktancyjny, tzn. $\underline{Z}_k = jX_k$, $X_k \in (-\infty, \infty)$.

Literatura

1. WOLSKI, W. *Teoretyczne podstawy techniki analogowej*, Oficyna Wyd. PWR, Wrocław 2007
2. URUSKI, M., WOLSKI, W. *Teoria obwodów II*, skrypt PWR., Wrocław 1983
3. OSIOWSKI, J. *Zarys rachunku operatorowego*, WNT, Warszawa 1972

Dodatki

Użyteczne procedury w MATLABie

1. Procedura **linia1** oblicza teoretyczne parametry falowe laboratoryjnego modelu linii transmisyjnej $\underline{\hat{Z}}_f$ i $\underline{\hat{Y}}$ przy częstotliwości f_0 . Częstotliwość należy podać w Hz.

```
%Oblicza parametry falowe laboratoryjnego modelu linii:  
%impedancję falową Zf (ohm) i gamma (1/m)  
%przy częstotliwości f0 (Hz)  
function [Zf,gamma]=linia1(f0)  
dx=15e3;  
L0=28.5e-3/dx;C0=90e-9/dx;R0=42/dx;G0=7.9e-6/dx;  
w=2*pi*f0;  
z=R0+j*w*L0;y=G0+j*w*C0;  
Zf=sqrt(z/y);  
gamma=sqrt(z*y);
```

2. Procedura **linia2** oblicza moduł impedancji wejściowej modelu linii na podstawie danych pomiarowych. Jako dane wejściowe należy podstawić:

- f_0 — częstotliwość pomiarowa f_0 w Hz,
- E_g — macierz wierszowa, zawierająca 24 elementy – zmierzone wartości \underline{E}_g ,
- U_{we} , f_{iwe} — macierze wierszowe o 24 elementach, zawierające zmierzone wartości skuteczne i fazy napięcia \underline{U}_{we} , zmierzone przy zwieraniu linii na kolejnych ogniwach.

Jako wynik otrzymuje się macierz kolumnową \underline{Z}_{we} , której elementami są moduły impedancji wejściowej linii zwartej na końcu o długości 1, 2, ..., 24 ogniw.

Procedura sporządza również wykres teoretycznie wyliczonego modułu impedancji wejściowej, jako funkcję długości linii, na który naniesione są punkty uzyskane na podstawie pomiarów.

Uwaga: procedura działa poprawnie po zainstalowaniu procedury **linia1**.

```
%Oblicza moduł impedancji wejściowej laboratoryjnego modelu linii przy
%częstotliwości f0 (w hertzach) na podstawie danych pomiarowych:
%Eg, Uwe (w woltach) i fiwe (w stopniach)
%Wywołanie Zwe=linia2(f0,Eg,Uwe,fiwe)
function Zwe=linia2(f0,Eg,Uwe,fiwe)
[Zf,gamma]=linia1(f0);
x=15e3:15e3:360e3;
Zwe=Zf*tanh(gamma*x);
xt=0:1e3:360e3;
Zwet=Zf*tanh(gamma*xt);
U=Uwe.*exp(j*fiwe*pi/180);
Zwes=500*U./(Eg-U);
set(gcf,'Color','white')
plot(xt,abs(Zwet),'Color',[0 0.5 0],'LineWidth',2),grid
xlabel('dlugosc linii [m]'),ylabel('modul impedancji [ohm]')
hold on
plot(x,abs(Zwes),'LineStyle','none','Marker','o','MarkerSize',6,
'MarkerFaceColor',[0.5 0 0.3],'MarkerEdgeColor',[0.5 0 0.3])
hold off
Zwe=round(abs(Zwes))';
```

3. Procedura **linia3** oblicza tłumienność falową α i przesuwność falową β na podstawie pomiarów wartości skutecznej i fazy początkowej napięcia wzdłuż linii. Jako dane wejściowe należy podstawić:

- f_0 — częstotliwość pomiarowa f_0 w Hz,
- U_n , φ_n — macierze wierszowe o 25 elementach, zawierające wartości skuteczne i fazy napięcia U_n , zmierzone na kolejnych ogniwach linii (pierwszym elementem jest napięcie i faza na początku linii!)

Jako wynik, oprócz α i β , wyprowadzone są, w postaci macierzy kolumnowych wartości

$A = \ln \left| \frac{U_n}{U_p} \right|$ i φ_n – fazy początkowe napięć φ_n , przeliczone na radiany.

Procedura sporządza również wykresy:

- teoretyczny wykres biegunowy $\frac{\hat{U}_n}{U_p}$, na który naniesione są wyniki pomiarów,
- punkty pomiarowe $\ln \left| \frac{U_n}{U_p} \right|$ i ich aproksymację linią prostą,
- punkty pomiarowe φ_n (przeliczone na radiany) i ich aproksymację linią prostą.

Uwaga: procedura działa poprawnie po zainstalowaniu procedury **linia1**.

```
%Oblicza tłumienność i przesuwność falową (alfa i beta)
%na podstawie pomiaru wartości skutecznej i fazy napięcia
%wzdłuż linii.
%Wywołanie: [frac,A,alfa,beta]=linia3(f0,Un,fin),
%gdzie f0 jest częstotliwością pomiarową,
%Un i fin wektorami (macierzami wierszowymi o 25 elementach)
```

```
%odpowiednio wartości skutecznych i faz (w stopniach)
%napięcia na kolejnych (zaczynając o początku linii!!!)
%ogniwach. A jest wektorem kolumnowym wartości  $\ln|U_n/U_p|$ ,
%zaś frad wektorem kolumnowym zawierającym fazy napięć
%przeliczone na radiany.
%Wykonuje również wykres biegunowy napięcia  $U_n$  (teoretyczny
%i na podstawie wyników pomiarów) oraz wykresy
%A i frad jako funkcje długości linii.
function [frad,A,alfa,beta]=linia3(f0,Un,fin)
[Zf,gamma]=linial(f0);
Un=Un/Un(1);
frad=unwrap(fin*pi/180);
A=log(abs(Un));
x=0:15e3:360e3;
D=exp(-gamma*x);
xt=0:1e3:360e3;
Dt=exp(-gamma*xt);
figure(1)
set(gcf,'Color','white')
polar(angle(Dt),abs(Dt))
hold on
polar(angle(D),abs(D),'or')
polar(frad,abs(Un),'+k')
hold off
PA=polyfit(x,A,1);
A1=polyval(PA,x);
PF=polyfit(x,frad,1);
frad1=polyval(PF,x);
figure(2)
set(gcf,'Color','white')
subplot(2,1,1)
plot(x,A1,'b',x,A,'+k'),grid,xlabel('dlugosc linii [m]'),ylabel('ln|Un/Uo|')
subplot(2,1,2)
plot(x,frad1,'b',x,frad,'+k'),grid,xlabel('dlugosc linii [m]'),ylabel('fi
[rad]')
alfa=-PA(1);
beta=-PF(1);
frad=frad';
A=A';
```